

ՀԱՅԱՍՏԱՆԻ ՀԱՆՐԱՊԵՏՈՒԹՅԱՆ ԳԻՏՈՒԹՅՈՒՆՆԵՐԻ ԱԶԳԱՅԻՆ ԱԿԱԴԵՄԻԱ  
ԵՐԿՐՈՓԱՆԱԿԱՆ ԳԻՏՈՒԹՅՈՒՆՆԵՐԻ ԻՆՍՏԻՏՈՒՏ

**ԱՐԵՎՈՉԱՏՅԱՆ ՄԵՐԳԵՐ ԴԵԾԻԿԻ**

ԵՐԵՎԱՆ ՔԱՂԱՔԻ ՏԱՐԱԾՔԻ ԾԱԽ ՄԵՏԱՂՆԵՐՈՎ ԱՌՏՈՒՄԱՆ  
ԿԵՆՍԱԵՐԿՐՈՓԻՄԻԱԿԱՆ ԲՆՈՒԹԱԳԻՐԸ

ԻԴ.00.23 – “Երկրաբնապահպանություն” մասնագիտությամբ  
Երկրաբանական գիտությունների թեկնածուի գիտական  
աստիճանի հայցման ատենախոսության

**ՍԵՂՍԱԳԻՐ**

ԵՐԵՎԱՆ - 2005

---

НАЦИОНАЛЬНАЯ АКАДЕМИЯ НАУК РЕСПУБЛИКИ АРМЕНИЯ  
ИНСТИТУТ ГЕОЛОГИЧЕСКИХ НАУК

ԱՐԵՎՇԱՏՅԱՆ *Сергей Генрикович*

БИОГЕОХИМИЧЕСКАЯ ХАРАКТЕРИСТИКА  
ЗАГРЯЗНЕНИЯ ТЕРРИТОРИИ г. ЕРЕВАНА ТЯЖЁЛЫМИ  
МЕТАЛЛАМИ

АВТОРЕФЕРАТ  
диссертации на соискание учёной степени  
кандидата геологических наук  
по специальности 24.00.23 – “Геоэкология”

ԵՐԵՎԱՆ – 2005

Աստենախոսության թեման հաստատվել է  
ՀՀ ԳԱԱ Եկոլոգանոռութերային հետազոտությունների կենտրոնում

Գիտական դեկան՝	աշխարհագրական գիտ. դոկտոր Ռ. Շ. Ռևազյան
Պաշտոնական ընդունակություններ՝	ՀՀ ԳԱԱ և ՈՐԳ Ակադեմիայի ակադեմիկոս, պրոֆեսոր, Երկրաբանա-հանքաբանական գիտ. դոկտոր Ս. Վ. Գրիգորյան,
	ՀՀ ԳԳԱ թղթակից անդամ, պրոֆեսոր, Կենսաբանական գիտ. դոկտոր Ա. Մ. Բարսեղյան
Առաջատար կազմակերպություն՝	Խ. Արովյանի անվ. Դայլական պետական մանկավարժական համալսարանի Եկոլոգիայի և բնության պահպանության ու կենսաբանության մերութիկայի դասավանդման ամբիոններ

Պաշտպանությունը կայանալու է 2005 թ. հունիսի «29» -ին, ժամը 15<sup>00</sup>-ին  
ՀՀ ԳԱԱ Երկրաբանական գիտությունների ինստիտուտի 054 ճանագիտական  
խորհրդի նիստում: Նաստեն՝ 375014, Երևան, Մարշալ Բաղրամյանի պ. 24ա:

Աստենախոսությանը կարելի է ծանոթանալ ՀՀ ԳԱԱ ԵԳԻ-ի գրադարանում:

Սեղմագիրն առաքված է «19» մայիսի 2005թ.:

Մասնագիտական խորհրդի գիտական քարտուղար,  
Երկրաբանա-հանքաբանական գիտ. թեկնածու՝

Ռ. Վ. Շահինյան

Тема диссертации утверждена  
в Центре эколого-ноосферных исследований НАН РА

Научный руководитель: доктор географических наук Р. Г. Ревазян

Официальные  
оппоненты:  
Академик НАН РА и РАЕН, профессор,  
доктор геолого-минералогических наук С. В. Григорян,

член-корреспондент АСХН РА, профессор,  
доктор биологических наук А. М. Барсегян

Ведущая организация: Армянский государственный педагогический университет,  
кафедры экологии и охраны окружающей среды и  
методики преподавания биологии

Зашитта состоится «29» июня 2005г. в «15<sup>00</sup> ч. на заседании Специализированного совета 054 Института геологических наук НАН РА.

Адрес: 375014, Ереван, пр. Маршала Баграмяна, 24а.

С диссертацией можно ознакомиться в библиотеке ИГН НАН РА.

Автореферат разослан «19» мая 2005г.

Учёный секретарь Специализированного совета,  
кандидат геолого-минералогических наук

Г. В. Шагинян

## ВВЕДЕНИЕ

*1952*

**Актуальность.** В экосистему г. Еревана техногенным потоком интенсивно привносятся тяжёлые металлы, что придаёт территории черты техногенной провинции, которая сопоставима с экстремальными природными биогеохимическими ситуациями [Виноградов, 1963; Ковалский, 1974; Саэт и др., 1990; Перельман, Касимов, 1999; Сагателян, 2004, и др.].

В связи с этим необходима разработка системы оценки загрязнения отдельных компонентов экосистемы города, оценки и прогноза реакции биоты на загрязнение тяжёлыми металлами. Наблюдения за структурно-функциональными откликами организмов являются составной частью биомониторинга, который осуществляется с помощью методов биоиндикации [Израэль, 1980; Manning, Feder, 1980; Криволуцкий и др., 1987; Биоиндикация..., 1988, 1991, 1993; Джугарян, 2000; Фёдорова, 2002; Черненькова, 2002, и др.], среди которых ведущую роль занимает биогеохимический метод фитоиндикации, где растение как ключевой элемент экосистемы служит качественным и количественным биогеохимическим сенсором загрязнения геосред.

Однако не все типы техногенного загрязнения адекватно идентифицируются по специфическим откликам растений. При хронических нагрузках первостепенной задачей является подбор фитоиндикаторов и определение адекватных биогеохимических критерии накопления ими тяжёлых металлов из окружающей среды. Концептуальной основой этих исследований является представление В.И.Вернадского о концентрационной функции живого вещества.

В Армении методы биогеохимической оценки, картирования и фитоиндикации загрязнения окружающей среды тяжёлыми металлами недостаточно разработаны. В связи с интенсивным загрязнением последними экосистемы г. Еревана актуальными представляются исследования по биогеохимической оценке и разработке системы фитоиндикации загрязнения территории.

**Цель и задачи исследования.** Цель исследования – биогеохимическая оценка и разработка системы фитоиндикации загрязнения г. Еревана тяжёлыми металлами. Для достижения цели были определены и решались следующие задачи:

- изучение характера загрязнения основных компонентов экосистемы г. Еревана тяжёлыми металлами;
- исследование металлоглуттального потенциала и определение адекватных биогеохимических критериев растений для фитоиндикации загрязнения среды тяжёлыми металлами;
- комплексное эколого-геохимическое картирование и разработка системы биогеохимической фитоиндикации загрязнения территории г. Еревана тяжёлыми металлами.

**Основные положения, выносимые на защиту.** Результаты исследований позволили обосновать следующие основные положения:

1. Для территории г. Еревана характерно активное техногенное загрязнение тяжёлыми металлами. В геохимическом потоке тяжёлых металлов доминирующая роль принадлежит группе халькофильных элементов (Pb, Ag, Zn, Cu).
2. Адекватная аккумуляция депонирующими средами (почвы, илы, растения) тяжёлых металлов определяет их информационную ценность и служит критерием для биогеохимической оценки и картирования загрязнения городских территорий этими элементами.
3. Депонирующие биосреды отражают процесс загрязнения комплексно, что обеспечивает возможность экспертизы городских территорий с минимальными затратами на инструментальные измерения степени загрязнения окружающей среды.

## **Научная новизна:**

- впервые в Армении и в г.Ереване для оценки степени загрязнения атмосферы апробирован метод лихеноиндикации;
- впервые дана комплексная биогеохимическая оценка загрязнения тяжёлыми металлами различных геосред экосистемы г.Еревана;
- изучен металлогипотитильный потенциал и определены биогеохимические индикационные показатели растений в отношении загрязнения отдельных компонентов экосистемы г.Еревана тяжёлыми металлами;
- составлены комплексные карты-схемы (М 1 : 10000) загрязнения территории г.Еревана тяжёлыми металлами по данным опробования почвенного покрова и биогеохимической фитоиндикации.

## **Научная и практическая значимость.**

Предложенный автором метод комплексного фитоиндикационного картирования опубликован в справочнике "Hi-Tech" (2000). Составленная в соавторстве с А.К. Сагателяном и Л.В. Саакян карты-схема загрязнения почвенного покрова г.Еревана (М 1:10000) по СПК тяжёлых металлов включена в новый генплан г.Еревана (2003).

Изложенные в диссертации положения и выводы могут быть использованы

- для проведения экоэкспертизы и получения комплексной картины загрязнения городских территорий тяжёлыми металлами с минимальными затратами на инструментальные изменения;
- при разработке мероприятий по экологическому мониторингу на техногенно изменённых территориях;
- при подборе ассортимента деревьев для фитомелиорации техногенных территорий.

Изложенные в диссертации материалы и система фитоиндикации получены в результате выполнения 4-х госбюджетных тем с участием автора (1990-1995, 1996-1999, 2000-2001, 2002-2004) Центра эколого-ноосферных исследований НАН РА.

**Апробация.** Результаты исследований доложены на республ. науч. конф. "Загрязнение окружающей среды тяжёлыми металлами" (Ереван, 1996); II межд. совещ. "Геохимия биосфера" (Новороссийск,1999); межд. симпоз. "Геохимия ландшафтов, палеоэкология человека и этногенез" (Улан-Уде, 1999); межд. семинаре "Конверсионный потенциал Армении и программы МНТЦ" (Ереван, 2000); IV межд. экологич. конф. студентов и молодых учёных "Роль науки и образования для устойчивого развития на пороге третьего тысячелетия" (Москва, 2000); II республ. молодёж. науч. конф. "XXI век: экологическая наука в Армении" (Ереван, 2001); XI межд. симпоз. по биоиндикаторам "Современные проблемы биоиндикации и биомониторинга" (Сыктывкар, 2001); межд. школе "Современные методы эколого-геохимической оценки состояния и изменений окружающей среды" (Новороссийск, 2003); VII межд. экологич. конф. студентов и молодых учёных "Экологическая безопасность как ключевой фактор устойчивого развития" (Москва, 2003).

**Публикации.** Из 47 публикаций, в том числе двух изданий Толкового экологического словаря (соавторы – А.А. Мурадян, А.А. Оганесян) на армянском языке (1997, 2001), по материалам диссертации опубликовано 18 работ. За время работы над диссертацией автор являлся ответственным редактором /секретарём 2-х вып. Сборника статей молодых научных сотрудников (1.1999; (1)2.2001), сборников материалов 4-х республ. молодёж. науч. конф. "XXI век: экологическая наука в Армении" (Ереван, 2000-2003) и 4-х выпусков электронного журнала НАН РА Естественные науки (1.2003; 1(2), 2(3).2004; 1(4).2005). Автор дважды (1998,

2001) премировался Президиумом НАН РА и Фондом Галуста Гюльбенкяна; в 2003г. избран Советником при Президиуме Российской Академии Естественных Наук (Москва).

**Структура и объём работы.** Диссертация состоит из введения, 4-х глав, выводов, указателя литературы (содержащего 250 работ, из них 57 иностранных) и приложения. Основная часть работы изложена на 140 стр., содержит 20 таблиц, 19 рисунков (из них 2 карты-схемы). Приложение объёмом 18 стр. содержит 2 таблицы, 5 карт-схем.

**Благодарности.** Автор выражает искреннюю признательность своему научному руководителю – доктору геогр. н. Р.Г. Ревазяну за всестороннюю поддержку в организации и проведении исследований. Автор приносит благодарность директору Центра эколого-ноосферных исследований НАН РА, доктору геол.-минерал. н. А.К. Сагателяну, доктору биол. н. О.А. Джугарян, кандидату геол. н. С.А. Аракеляну, кандидату геол.-минерал. н. Т.Н. Кюргян, кандидатам биол. н. А.А. Оганесян, А.А. Мурадян, В.А. Манакяну и всем своим коллегам за многолетнее сотрудничество, консультации и критический просмотр работы.

В автореферате использованы следующие аббревиатуры: ТМ – тяжёлые металлы, СПК – суммарный показатель концентрации, ПДК – предельно допустимые концентрации, БГХА – биогеохимическая активность, А<sub>с</sub> – коэффициент биологического поглощения, Кс – коэффициент концентрации, БД – база данных.

## СОДЕРЖАНИЕ РАБОТЫ

### Глава I. КРАТКИЙ ИСТОРИЧЕСКИЙ ОБЗОР, КОНЦЕПЦИЯ И МЕТОДИЧЕСКИЕ АСПЕКТЫ БИОГЕОХИМИЧЕСКОЙ ФИТОИНДИКАЦИИ

I.1. Краткий исторический обзор. Изложена история становления биоиндикационных исследований, их современное состояние и использование в мониторинге загрязнения окружающей среды ТМ в национальных программах ряда стран Европы, а также в Армении.

I.2. Концепция и методические аспекты. Проанализированы работы по разработке основ фитоиндикации, изложены концепция и методические подходы к решению задач по биогеохимической фитоиндикации загрязнения ТМ окружающей среды. На основе критического анализа литературы выдвинут ряд принципиальных положений.

### Глава II. ХАРАКТЕРИСТИКА РАЙОНА И ОБЪЕКТОВ, МАТЕРИАЛЫ И МЕТОДЫ ИССЛЕДОВАНИЙ

II.1. Характеристика района и объектов исследований. Территория Еревана ( $S \approx 225 \text{ km}^2$ ) расположена в пологой котловине (перепады высот 800-1400м над урм.), имеет разнообразные формы рельефа и сложена проаллювиальными, или аллювиальными и субаэральными отложениями [Асланян, 1958; Габриелян, 1962]. Здесь различают 2 ландшафтных пояса [Григорян, 1975; Погосян, 1986]: полупустынный и сухостепной. Климат сухой континентальный. Почвы полупустынные, маломощные (12-40 см), каменистые, бедные гумусом (1-1,5%), бесструктурные, скелетные [Погосов, 1943; Миримянян, 1961; Эдильян и др., 1976]. Растительность: в естественном растительном покрове преобладает полынно-солянковая ассоциация; эдификатор – *Artemisia fragrans* Wild. (Магакян, 1941; Тахтаджян, 1941). На городских территориях доминируют интродуценты: *Populus alba* L., *Fraxinus excelsior* L., *Robinia pseudoacacia* L., *Acer negundo* L., *Ulmus pumila* L. и др.

**II.2. Материалы и методы исследований.** Биогеохимическое опробование территории города велось в течение 1990-2003гг. по плану-схеме (М 1:10000). В "потенциально численных" местах (лесопарки) сеть опробования разрежалась и стущалась у заводов и на прилегающих к ним территориях. Материалом исследований служили наиболее распространенные в озеленении виды деревьев (*Populus alba* L., *Fraxinus excelsior* L., *Robinia pseudoacacia* L.), тростник южный (*Phragmites australis* (Cav.) Trin. ex Steudel) и лишайник (*Parmelia saxatilis* (L.) Ach.). Отбор и обработка почв, вод, снега и илов и сопряженных с ними растений проводились по методам, разработанным в ИМГРЭ и Почвенном ин-те им. В.В. Докучаева [Важенин и др., 1977; Методические рекомендации..., 1981, 1982]. Пробы анализировались в лабораториях Бронницкой геолого-геохимической экспедиции ИМГРЭ, ИГН НАН РА и ЦЭНИ НАН РА: методами количественного спектрального (ДФС-8) и атомно-абсорбционного анализов (AAS-1), определялись содержания ТМ; pH и ионный состав – общепринятыми методами [Аринушкина, 1970]. В почвах определялись валовая и подвижная (1N HCl, 1:5) формы элементов. В течение работы отобрано и проанализировано около 2500 проб: 2000 – лито- и гидрохимических, 500 – биогеохимических.

Минимально-аномальные значения рассчитаны по методике А.П. Соловова [1978]. Накопление ТМ в депонирующих средах определялось методом сопоставления фактических концентраций с данными фоновых участков и с кларками в литосфере [Виноградов, 1962], с кларками живого вещества [Bowen, 1979]. При изучении поглощения ТМ в средах использован ряд показателей: коэффициент техногенной концентрации или аномальности:  $K_c = C_e / C_f$  [Беус, Григорян, 1975; Перельман, Касимов, 1999]; коэффициент биологического поглощения:  $A_x = C_x / N_x$  [Перельман, Касимов, 1999]; коэффициент биогеохимической активности:  $BGA_x = \Sigma A_x / n$  [Айвазян, 1974]; суммарный показатель концентрации (СПК):  $Z_c = \Sigma K_c \cdot (n-1)$  [Саэт, 1982].

Для выявления достоверных взаимосвязей между изучаемыми ТМ в отдельных субстратах, а также в системе "среда–растение" проведена статистическая обработка материала на базе программного пакета STATISTICA 6.0. Эколого-геохимическое картирование загрязнения территории г. Еревана проведено после создания компьютерной БД содержаний ТМ в почвах и растениях. На основе БД с использованием программных пакетов GIS Surfer 6.04 и ArcView 3.2 построены карты-схемы. Для биогеохимического индикационного картирования матрица параметров ( $M_{lM}$ ) обработана с помощью кластерного анализа и усовершенствованного алгоритма расчёта коэффициента подобия, где  $N$  – число химических элементов в выбранном кластере,  $X$  и  $Y$  – элементы  $e$  и  $f$  кластеров; элементы ( $i$ ,  $j$ ) представляют собой степень близости  $i$ -го и  $j$ -го кластеров.

$$K_{e,f} = \frac{\sum_{i=1}^N X_i Y_j - \frac{\sum_{i=1}^N X_i \sum_{j=1}^N Y_j}{N}}{\sqrt{\left[ \sum_{i=1}^N X_i^2 - \frac{\left( \sum_{i=1}^N X_i \right)^2}{N} \right] \cdot \left[ \sum_{i=1}^N Y_i^2 - \frac{\left( \sum_{i=1}^N Y_i \right)^2}{N} \right]}}$$

## Глава III. ЗАГРЯЗНЕНИЕ ЭКОСИСТЕМЫ г. ЕРЕВАНА ТМ И ПОИСК АДЕКАВТАХ ФИТОИНДИКАТОРОВ

### III.1. Загрязнение воздушного бассейна г. Еревана ТМ и лихеноиндикация.

#### III.1.1. Содержание ТМ в воздушном бассейне.

Исследования загрязнения снежного покрова на территории Еревана за период 1989-1995гг. показали, что уменьшение объёмов промышленного производства привело к снижению интенсивности геохимического потока и изменению качественных рядов ТМ (рис. 1).

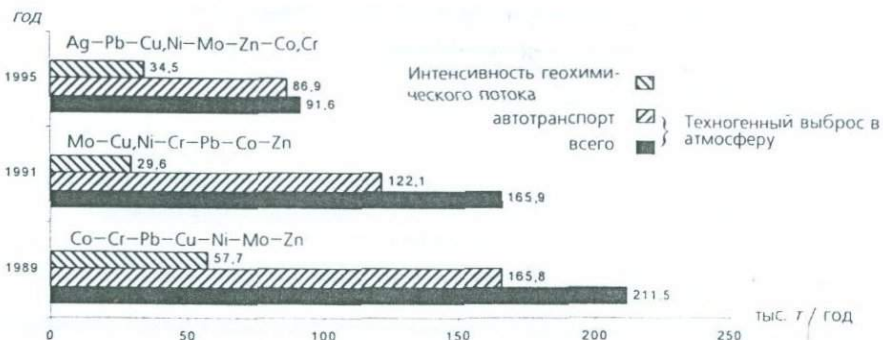


Рис. 1. Динамика интенсивности и качественный состав геохимического потока ТМ в атмосфере г. Еревана.

[Сагателян, 1999, 2004]. В 1989г. на полную мощность работала промышленность и автотранспорт, суммарный выброс которых составлял 211,5 тыс.т /год; интенсивность геохимического потока составляла 57,7. В 1991г. со спадом выбросов отмечено двухкратное снижение интенсивности геохимического потока (29,6) и изменение его качественного состава. В 1995г. в связи с резким спадом уровня промышленности суммарный выброс составил 91,6тыс.т/год (86,9 тыс.т/год – выбросы автотранспорта); интенсивность геохимического потока несколько увеличилась (34,5) и в его качественном ряду первые места заняли Ag и Pb, что связано с увеличением количества фотолабораторий и ювелирных цехов (Ag) и завозом этилированного бензина (Pb). За период 1989-1995гг. на фоне падения объёмов выбросов наблюдается относительный рост загрязнения окружающей среды Pb, содержание которого в твёрдом осадке снега составило (мг/кг): 1989г. – 400, 1991г. – 225, 1995г. – 384, что связано с повышением в объёме выбросов доли работающего на этилированном бензине автотранспорта: 73 % (1989г.) – 94 % (1995г.). В геохимических рядах Pb занимает одно из ведущих мест и является одним из распространённых элементов-загрязнителей.

### III.1.2. Лишайники – индикаторы загрязнения атмосферы ТМ.

Краткая характеристика изученности лихенофлоры Армении. Анализ лихенологических работ по Армении показал недостаточную изученность её лихенофлоры, что на сегодня затрудняет проведение геоботанической лихеноиндикации [Аревшатян, 2001].

**Лихеноиндикация загрязнения атмосферы ТМ.** Маршрутное геоботаническое обследование территории показало, что на основной её части (до 1250м над ур.м.) лишайниковый покров почти отсутствует. В соответствии с классификацией Р. Сернандера [1926], разработанной для г.Стокольма, по обилию лишайников центр и юг города отнесены к зоне лишайниковой пустыни, вслед за которой на уровне Канакерских склонов видовой арсенал представлен ацидофильными эпифитами (*Xanthoria parietina*, *Physcia pulvulenta*) и эпилитами (*Parmelia saxatilis*, *Xathoria elegans* и др.). У *P. saxatilis* в различных зонах города с ростом загрязнения возрастает роль изидиозно-апотециальных и изидиозных талломов; в зоне максимального загрязнения лишайники отсутствуют (рис. 2). В фоновых районах отмечены лишь апотециальные и изидиозно-апотециальные талломы. Эти результаты не достаточны для лихеноиндикации, поскольку большинство видов имеет дизьюнктивный ареал и их природа слабо изучена. Исследования были сфокусированы на биогеохимическом методе.

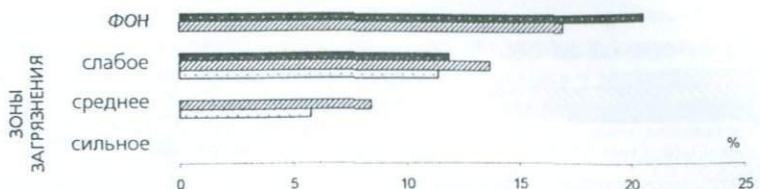


Рис. 2. Соотношение количества апотециальных и изидиозных экземпляров *Parmelia saxatilis* в различных зонах загрязнения, %.

Формы талломов: – изидиозные, – изидиозно-апотециальные, – только апотециальные.

Из 3-х распространённых в Ереване лишайников для исследований выбран космополитный и толерантный туфовый эпилит *P. saxatilis*. Из табл. 1 видна разница накопления ТМ в талломах *P. saxatilis* на фоне и в городе.

Табл. 1. Интенсивность накопления и коэффициент биогеохимической активности (БГХА<sub>x</sub>) ТМ в *P. saxatilis* в условиях фона и города. A<sub>x</sub> □ – 0,п и менее; ■ – п; ■ – 10п.

Район*	A <sub>x</sub> ТМ								Интенсивность	БГХА <sub>x</sub>
	Mo	Ag	Pb	Cu	Cr	Ni	Zn	Co		
Фон	1	1,07	2	1,98	0,93	1,07	0,45	0,53	8,02	1,15
Ереван	ЕБС	21,8	22,5	3,1	2,6	1,7	1,6	1,1	0,1	54,6** 6,8 5,9
	КАНАЗ	38,2	9,4	3,1	2,6	3,1	2,1	1,1	0,2	59,8 7,5 6,52

\* Районы: КАНАЗ – Канакерский алюминиевый завод; ЕБС – Ереванский ботанический сад; \*\* в числителе значение интенсивности в городе, в знаменателе – превышение над фоновым значением БГХА<sub>x</sub>.

Основная доля техногенной нагрузки приходится на Mo – в 38,2 (КАНАЗ) и 21,8 (ЕБС) раз; Ag – в 9,4 и 22,5 соответственно. Вклад остальных элементов (Pb, Cu, Ni) незначителен и находится на уровне фона. Несколько завышены значения Cr (в 3 раза), а у Co – интенсивность накопления понижена. Показатель БГХА<sub>x</sub> в городе (по сравнению с фоном) выше в 5,9-6,5 раз. Разница отмечается в накоплении Ag, наибольшие показатели которого зафиксированы в Ереванском ботаническом саду. ТERRITORIA последнего отличается от КАНАЗ-а близостью к центру города и к крупной Мясникянской автомагистрали, что сказывается на геохимии лишайника. Исходя из анализа биогеохимических особенностей *P. saxatilis*, можем заключить, что в условиях загрязнения наблюдается явная избирательность данного биоиндикатора к накоплению ряда ТМ, которые по степени накопления условно разделены на 3 группы: 1) элементы сильного накопления (10п) – Mo, Ag; 2) элементы среднего захвата (п) – Pb, Cu, Cr, Ni, Zn; 3) элемент слабого захвата (0,п и меньше) – Co.

Сопряжённый анализ содержания ТМ в снеговом покрове и лишайниках (табл. 2) показал, что качественный ряд в лишайниках является переходным между рядами геохимических потоков ТМ атмосферного загрязнения 1991 и 1995гг.

Таким образом, с ростом загрязнения у *P. saxatilis* уменьшается количество апотециальных талломов и возрастает число изидиозных; в городе по сравнению с фоном у *P. saxatilis* отмечен рост биогеохимической активности накопления ТМ, однако отмечается индивидуальная селективность к ряду металлов; качественный ряд ТМ в лишайнике адекватен техногенному геохимическому ряду в атмосфере.

Табл. 2 Ряды ТМ в лишайниках и в снеговом покрове (1991, 1995гг.).

Фон		Лишайник	Pb—Cu—Ag,Ni—Mo—Cr—Co—Zn
Город	1995		Mo—Ag—Pb—Cu—Cr—Ni—Zn—Co
		Снег	Mo—Cu,Ni—Cr—Pb—Co—Zn
	1995		Ag—Pb—Cu,Ni—Mo—Zn—Co,Cr

### III.2. Биогеохимическая фитоиндикация загрязнения объектов окружающей среды ТМ.

#### III.2.1. Характеристика загрязнения почв.

Природные особенности почв. Для почвенного профиля характерны сильная пропитка карбонатами нижних горизонтов, увеличение доли тонкодисперсных фракций от почвообразующей породы к гумусовому горизонту – с резким уменьшением частиц более 1мм, слабощелочная реакция профиля, низкая гумусность, большая ёмкость поглощения. Нижняя часть карбонатного слоя относится к коре выветривания, мощность которой, по Г.К. Габриеляну [1968], достигает 1-1,5м. В её образовании решающее значение принадлежит атмосферной миграции: на 1км<sup>2</sup> базальтового плато в предгорьях ежегодно выпадает 15-17г бикарбоната кальция. Почво-грунты города по содержанию бикарбонат-иона относительно однородны (среднее содержание 40,5мг / 100г), крайние значения варьируют в следующих пределах – 26,14-57,26мг / 100г почвы. Отмеченные особенности почв связаны с их генезисом на продуктах выветривания основных вулканических пород и воздействием циркулирующих в продуктах переотложений растворов подпочвенных вод.

При сложившемся комплексе физико-механических и химических условий в почвенном покрове на территории города процесс выщелачивания ТМ в глубокие горизонты затруднён, особенно на территориях с максимальными концентрациями бикарбонатов. Привносимые на территорию города ТМ, с одной стороны, будут закрепляться в верхнем профиле почв в основном за счёт комплексообразования с карбонатами и в меньшей степени с гумусом, с другой – вынос аккумулирующихся масс ТМ возможен с поверхностным стоком, а также механическим, химическим и органическим выветриванием.

Особенности загрязнения почвенного покрова. Литологически территория города сложена лавами, туфами и четвертичными отложениями. В развитых на этой основе почвах содержания ТМ близки к литосферным кларкам. В целом, природная геохимическая ассоциация ТМ в почвах представлена слабоинтенсивным рядом (интенсивность – 8,74): Pb<sub>(25)</sub>·Cu<sub>(12)</sub>·Zn<sub>(12)</sub>·Mo<sub>(1,09)</sub>>Cr<sub>(0,82)</sub>·Ag<sub>(0,71)</sub>·Ni<sub>(0,6)</sub>·Co<sub>(0,55)</sub> (в скобках приведены Кс в отношении кларка в литосфере). Почвы Еревана в результате длительной контаминации приобрели хронический и неоднородный характер загрязнения ТМ [Сагателян и др., 1996; Аракелян, Симонян, 1996; Сагателян, 1999, 2004, и др].

#### Краткий позлементный анализ данных.

Pb: минимальные валовые концентрации (0,0005 %) значительно ниже фона; средние значения – 0,025 % (Кс=6,37); максимальные – 0,6 % (Кс=150) – у лампового завода. Аномалии в основном приурочены к территориям с повышенной автотранспортно-промышленной нагрузкой, а также к типографиям. На территории города Pb играет доминирующую роль в формировании полей загрязнения.

Ag: минимальные содержания – 0,1·10<sup>-6</sup>%; средние – 2·10<sup>-6</sup> % (Кс=4,4); максимальные – 2·10<sup>-3</sup> % (Кс=300) – вдоль пр. Адмирала Исакова. Поля загрязнения приурочены к центру, северу и северо-востоку города. Как и Pb, Ag занимает доминирующее положение в формиро-

вании аномальных площадей полиэлементного загрязнения. Загрязнение почв Ag имеет сложное происхождение: в первую очередь, это связано с неконтролируемыми выбросами отходов фотолабораторий, а также с работой ювелирных и зеркальных цехов.

Cu Наиболее контрастные поля приурочены к территориям с многолетними выбросами и отходами от металлоёмких производственных предприятий в недалёком прошлом, к внутригородским огородам, где в сельскохозяйственных целях широко используется медный купорос, и др. территориям. В целом, по городу минимальные концентрации Cu – 0,001%; средние – 0,012% ( $K_c=2,1$ ); максимальные – 0,5% ( $K_c=166,7$ ; район НПО "Наирит", "Поливинилацетат"-а, ТЭС).

Zn по характеру распространения проявляет большую схожесть с Pb, чем с другими элементами; также широко распространён по всей территории города, однако в отличие от Pb средние значения  $K_c$  вдвое ниже. Минимальные значения Zn – 0,002% ( $K_c=0,2$ ); средние – 0,036% ( $K_c=3,7$ ); максимальные – 0,6% ( $K_c=100$ ).

Cr. Основная часть территории города занята сплошными полями с окологларковыми концентрациями. Значимые аномалии приурочены к северным, северо-восточным и южным частям и пространственно сопряжены с аномалиями доминирующих халькофильных элементов (Pb, Ag, Zn). По средним оценкам минимальные концентрации Cr – 0,001%, средние – 0,021% ( $K_c=3,2$ ), максимальные – 0,3% ( $K_c=147,1$ ) – на юго-востоке города (Эребуни, Нор-Арешт).

Mo равномерно распространён на территории; локальные аномалии развиты в направлении от центра к югу города. Минимальное значение Mo – 0,000008%, среднее – 0,00017% ( $K_c=1,4$ ), максимальное – 0,01% ( $K_c=83,3$ ) – на крайнем юге города (территория НПО "Наирит" и ТЭС), которая примыкает к заводу "Чистое железо". В производстве последнего используется каджаранский медно-молибденовый концентрат.

Co на территории города почти не создаёт контрастных аномалий. Минимальные значения – 0,00015%, средние – 0,0014% ( $K_c=1,4$ ), максимальные – 0,005% ( $K_c=5$ ). Природа загрязнения этим элементом связана с автотранспортом. В Ереване Co не относится к разряду приоритетных загрязнителей.

Ni. По средним оценкам минимальные содержания Ni составляют 0,001%, средние – 0,006% ( $K_c=1,8$ ), максимальные – 0,2% ( $K_c=57,2$ ) – на юге города.

Доминирующая роль в формировании полиэлементного загрязнения почв на территории города принадлежит группе халькофильных элементов (Pb, Ag, Zn, Cu). Роль сидерофильных элементов (Mo, Ni, Co, Cr) незначительна и проявляется лишь в образовании локальных аномалий около конкретных источников загрязнения.

Для выявления связей между элементами матрица БД их валовых содержаний подвергнута парному корреляционному и кластерному анализам (рис. 3). Элементы образуют два кластера: I) Pb-Cu и Ni-Ag-Mo-Zn; II) Cr-Co. Первый кластер состоит из 2-х подкластеров: Ia) ассоциация элементов с максимальными значениями парных коэффициентов корреляции Ag ( $r=0,28$ ) Ni ( $r=0,22$ ) Mo, которые посредством Zn объединены с подкластером Iб – Cu ( $r=0,14$ ) Pb. Обоснована от кластера I слабая ассоциация Co ( $r=0,12$ ) Cr.

В условиях загрязнения с ростом валовых содержаний элементов наблюдается рост доли подвижных форм (рис. 4). Зависимость между подвижной (п) и валовой (в) формами элементов описывается нелинейной функцией:  $p = x \cdot v^2 + y \cdot v + z$ , где x, y, z – константы для каждого элемента. Для Cu и Pb зависимость подвижных форм элементов на определённом этапе достигает оптимума. Аналогичная зависимость наблюдается для Zn, однако нам не известен оптимум. У Ni –, наоборот, экспоненциальный рост.

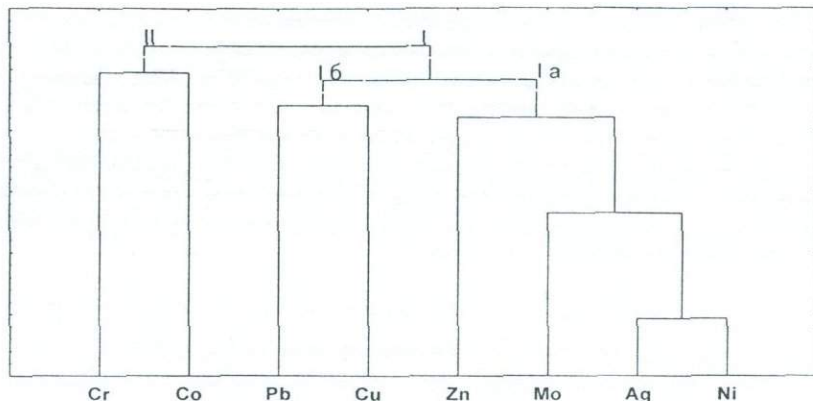


Рис. 3. Дендрограмма ассоциаций ТМ в почвах. По результатам кластерного анализа.

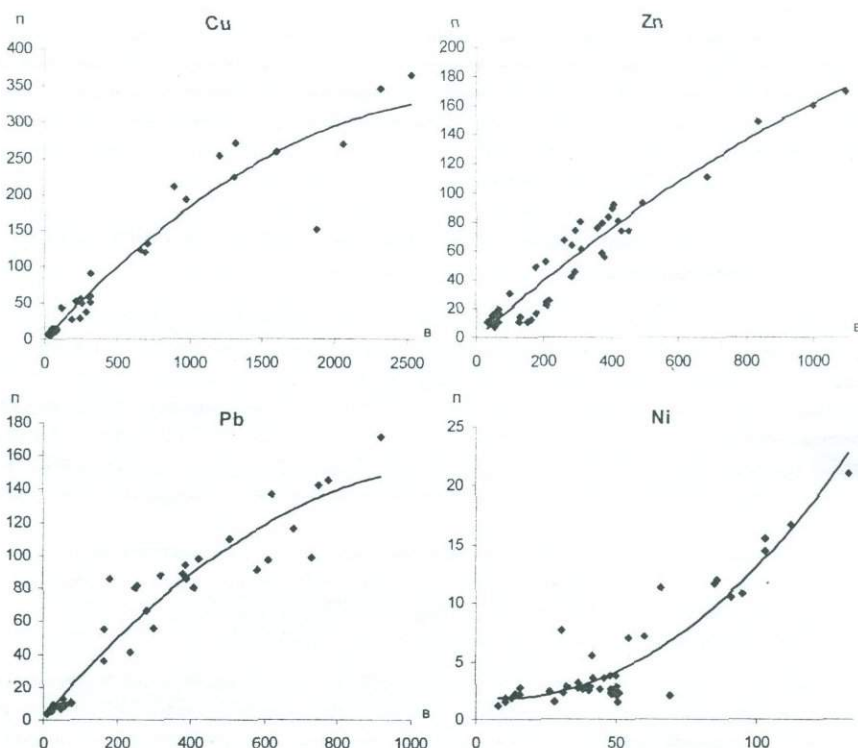


Рис. 4. Зависимость подвижных форм ТМ (п) от валовых (в) в почвах г. Еревана, мг/кг.

Соотношение выхода подвижных фракций относительно валовых содержаний ( $C_b/C_n$ ) на фоновых и аномальных участках различается в зависимости от свойств ТМ. Согласно табл. 3, по изменению  $C_b/C_n$  выделяются 2 группы элементов: 1) Ni, выход подвижных фракций которого в загрязненных почвах растёт; 2) элементы (Cu, Zn, Pb), выход подвижных фракций которых ниже или близок к фону, за исключением интенсивных аномалий. Содержание подвижных форм элементов варьирует в различных частях города. Рост доли подвижных форм на аномальных территориях обусловлен техногенным привносом и мобилизацией элементов от постоянных промышленно-транспортных источников, а также ландшафто-геохимическими особенностями участка.

Табл. 3. Соотношение валовых ( $C_b$ ) и кислоторастворимых ( $C_n$ ) форм ТМ в почвах города.

Участки		Соотношения форм ТМ ( $C_n/C_b$ , %)			
		Cu	Zn	Pb	Ni
Фон		19,2	19,5	27,7	7,7
Город, n=36	min	8,0	6,8	13,1	2,9
	med	18,7	19,9	24,1	10,3
	max	36,2	33,6	47,4	24,9

Приведённые факты имеют важное значение для экотоксикологического ранжирования территории города с позиций здоровья населения и требуют организации сопряжённых эколого-геохимических и медико-биологических исследований на сильно загрязненных территориях. Реабилитация таких территорий возможна путём функционального озеленения с учётом металлоглутотельного потенциала растений, благодаря чему возможно значительно уменьшить интенсивность загрязнения.

### III.2.2. Характеристика загрязнения древесных растений и поиск адекватных фитоиндикаторов.

Средние уровни содержаний ТМ в растениях города незначительно отличаются от местного биогеохимического фона. Исключение составляет Cu у всех видов ( $Kc \leq 10$ ) и Ag — у *R. pseudoacacia* ( $Kc=5,2$ ). Одновременно на территории города существуют контрастные аномальные зоны, непосредственно связанные с техногенными источниками. Особенно контрастны аномалии Mo — у *F. excelsior* ( $Kc=78,7$ ) и *R. pseudoacacia* ( $Kc=37,5$ ), Ag — у *R. pseudoacacia* ( $Kc=60$ ), Cu — у *R. pseudoacacia* ( $Kc=44,4$ ), *F. excelsior* ( $Kc=25$ ), *P. alba* ( $Kc=22,2$ ). По средним показателям Кс ТМ в исследуемых видах установлены следующие биогеохимические ряды:

вид	биогеохимический ряд	интенсивность
<i>P. alba</i>	= Cu <sub>(10,1)</sub> —Zn <sub>(2)</sub> —Ni <sub>(1,5)</sub> —Pb <sub>(1,5)</sub> —Co <sub>(1,3)</sub> —Mo <sub>(1)</sub> >Ag <sub>(0,6)</sub>	18,0;
<i>F. excelsior</i>	= Cu <sub>(10,1)</sub> —Mo <sub>(1,8)</sub> —Ni <sub>(1,6)</sub> —Zn <sub>(1,1)</sub> —Pb <sub>(1)</sub> >Co <sub>(0,9)</sub> —Ag <sub>(0,6)</sub>	17,1;
<i>R. pseudoacacia</i>	= Cu <sub>(1,2)</sub> —Ag <sub>(5,2)</sub> —Mo <sub>(3,3)</sub> —Pb <sub>(1,9)</sub> —Ni <sub>(1,3)</sub> >Co <sub>(0,9)</sub>	24,7.

В рядах элементы относятся к степени сильного и слабого накопления. У двух первых видов Ag не накапливается, что говорит о наличии барьерной функции накопления этого элемента в условиях среднего загрязнения. Максимальной интенсивностью накопления ТМ отличается *R. pseudoacacia* (24,7), который помимо биогенного накопления Cu отличается накоплением Ag ( $Kc=5,2$ ) и Mo ( $Kc=3,3$ ), что играет немаловажную роль для выделения этого вида для биогеохимической индикации загрязнения территории города.

Для полей максимальных концентраций ТМ установлены следующие ряды:

вид	биогеохимический ряд	интенсивность
<i>P. alba</i>	$- \text{Cu}_{(22,2)} - \text{Mo}_{(16,7)} - \text{Zn}, \text{Ni}_{(12,5)} > \text{Ag}_{(8,3)} - \text{Co}_{(5,6)} - \text{Pb}_{(5)}$	82,8;
<i>F. excelsior</i>	$- \text{Mo}_{(78,7)} - \text{Ni}_{(50)} - \text{Cu}_{(25)} - \text{Co}_{(12,5)} > \text{Zn}_{(7,3)} - \text{Ag}_{(4,3)} - \text{Pb}_{(3)}$	180,8;
<i>R. pseudoacacia</i>	$- \text{Ag}_{(60)} - \text{Cu}_{(44,4)} - \text{Mo}_{(37,5)} - \text{Ni}_{(40)} - \text{Zn}_{(15)} > \text{Pb}_{(8,6)} - \text{Co}_{(4,3)}$	209,8.

В приведенных рядах элементы относятся к классам сильного (n) и интенсивного (10n) накопления. По интенсивности ряда выделяется робиния, которая накапливает большие концентрации Ag, Cu, Mo, Ni, характерных максимальным аномалиям в почвах. В отношении Pb накопительная способность робинии также выше, чем у остальных двух видов. Сравнение ассоциаций элементов ясеня и тополя показало, что ясень относится к переходным видам от крайне гумидокатных к аридантитым и применение его в качестве индикатора возможно на территориях с доминирующей ролью Mo, Ni, Cu и Co.

У *R. pseudoacacia* в биогеохимических ассоциациях элементы связаны, кроме Zn. Он накапливается слабо и очень слабо (Kc=0,9-15), что, очевидно, обусловлено барьерной генетической функцией самого растения. Несмотря на низкую активность накопления Pb, по основному спектру элементов металлонакопительный потенциал у робинии сбалансирован, что позволяет использовать этот вид для биогеохимической индикации.

Анализ соотношений концентраций элементов в растениях и почве выявил тенденцию уменьшения биологического поглощения при возрастании содержания элемента в почве. Такой зависимости не прослеживается для Ni. Отсутствие ясно выраженной корреляции между  $A_{x(Ni)}$  у растений и содержанием Ni в почвах заставляет предполагать активные биологические механизмы его поглощения из обогащенной среды.

### III.3. ТМ в системе “вода – донные отложения – растения”.

Краткая характеристика геохимического потока ТМ в водах р.Раздан. Как показывают данные табл. 4, в водном геохимическом потоке ТМ выделяются две фазы:

- 1) 1999-2002гг. – спад уровня загрязнения, связанный со снижением объёмов промышленных стоков и суммарного привноса ТМ с атмосферными выпадениями и поверхностными водами с прилегающих территорий;
- 2) 2003г. – рост и качественное изменение геохимического потока за счёт увеличения доли Cu, Zn, Pb, что связано с активизацией работы ряда мелких предприятий и увеличением потока автотранспорта.

Табл. 4. Качественные показатели геохимического потока ТМ в водах бассейна р.Раздан в черте г.Еревана, 1999-2003гг.

Годы	Качественный ряд геохимического потока	Интенсивность потока
1999	$\text{Pb}_{(750)} - \text{Cr}_{(140)} - \text{Ag}_{(106)} - \text{Ni}_{(21)} > \text{Mo}, \text{Cu}_{(3)}$	1033
2000	$\text{Pb}_{(60)} - \text{Ag}_{(48)} - \text{Cr}_{(37)} > \text{Ni}_{(6,1)} - \text{Mo}_{(5)} - \text{Cu}_{(2)}$	158,1
2001	$\text{Ag}_{(43)} - \text{Cr}_{(21)} - \text{Pb}_{(17)} - \text{Mo}_{(11)} > \text{Cu}_{(3,2)} - \text{Ni}_{(2)}$	97,2
2002	$\text{Cu}_{(12)} > \text{Cr}_{(9)} - \text{Zn}_{(7)} - \text{Pb}_{(6,5)} - \text{Ag}_{(4)} - \text{Mo}_{(3)} - \text{Ni}_{(15)}$	41
2003	$\text{Cu}_{(69)} - \text{Zn}_{(68)} - \text{Pb}_{(56)} > \text{Ag}_{(6,4)} - \text{Cr}_{(5,4)} - \text{Ni}_{(2)}$	206,8

**Донные отложения.** В илах ТМ относятся к 4-м группам накопления: 1) энергичного (100n) – Ag; 2) сильного (10n) – Ag, Ni, Cd и Pb; 3) среднего захвата (n) – Zn, Mn, Cu, Pb; 4) слабого захвата (0,n) – Zn, Mn, Cu, Pb. Наибольшую контрастность проявляет Ag, который относится к двум первым уровням накопления.

Сопоставление обобщённых геохимических рядов ТМ в илах за два года (2000 –  $\text{Ag}_{(17,0)} > \text{Pb}_{(7,8)} - \text{Zn}_{(3,5)} - \text{Cu}_{(2,8)} - \text{Mn}_{(1,3)}$ , 2003 –  $\text{Ag}_{(8,9)} > \text{Pb}_{(2,7)} - \text{Zn}_{(1,8)} - \text{Cu}_{(1,4)} - \text{Mn}_{(1,2)}$ ) показало, что качественно геохимический ряд не изменился. Доминирующую роль в рядах играет Ag, который на один порядок опережает весь ряд в 2000г, а в 2003г. – на два порядка. Ag эволюционировал из разряда сильного накопления (10n) в разряд энергичного (100n). Процесс роста концентрации Ag в экосистеме города и, в частности, в илах имеет сложную природу образования. Донные отложения отражают качественный характер загрязнения территории города и проявляют сходство с геохимическим рядом полей максимального загрязнения почв.

В илах обнаружены высокие концентрации Cd, что обусловлено привносом этого элемента с водным потоком и его осаждением в виде органо-минеральных комплексов. Значимые различия в колебании значений  $K_{c(\text{Cd})}$  отмечены для Ереванского водохранилища (19,2) и станции «Аэрации» (33,3), куда стекаются канализационные стоки со всего города (рис. 5). В илах Cd сорбируется органическими и неорганическими лигандами и также легко десорбируется, вновь поступая в воды, поэтому его вторичная мобилизация из загрязнённых илов может представлять серьёзную потенциальную опасность.

Илы, будучи своеобразными концентраторами ТМ, представляют прямую угрозу с позиций вторичного загрязнения поверхностных вод, а также прилегающих почв в случае их выемки и неосторожного использования, например, в качестве удобрений.

**Прибрежная растительность.** В 2003г. превышения над ПДК концентраций ТМ в воде зафиксированы для Pb, Ag, Cd, рост концентраций которых сопровождается ростом концентраций ТМ во всех органах тростника. ТERRITORIALLY максимальные уровни накопления Ag в илах согласуются с таковыми в тростнике. Для выявления связи ассоциаций элементов в системе «вода – донные отложения – растения» данные по трём средам подвергнуты корреляционному анализу.

Вода –  $\text{Ag}^{0,8} \text{Cu}^{0,21} \text{Mn}$  (над чёрточкой связи –  $r$ ). Остальные элементы (Zn, Pb, Cd) не ассоциированы.

Ил –  $\text{Zn}^{0,73} \text{Cd}$ . Выделяется крепко связанная ассоциация Zn-Cd-Cu. Эти элементы генетически связаны. Особый интерес представляет связка Zn-Cd, в которой эти элементы встречаются в природных минералах. Взаимосвязь остальных элементов (Mn, Ag, Pb) в илах недостоверна. Зафиксирована отрицательная связь Mn в илах с Pb в воде ( $r=-0,83$ ).

Тростник (стебли) –  $\text{Ag}^{0,68} \text{Mn}^{-0,58} \text{Cd}^{-0,57} \text{Pb}$ . Менее сильная по сравнению с водой, связь обнаружена между Ag и Mn ( $r=0,68$ ). Очевидно, при поступлении геохимической ассоциации Ag-Cu-Mn из воды в тростник происходит вытеснение иона меди Cd. Антагонизм Cd с Cu проявляется на уровне [-0,6], с Mn – [-0,58], с Pb – [-0,57]. Поступление Ag в тростник только из воды подтверждается связью ( $r=0,7$ ). Не обнаружено связи его содержания в органах (стебель и



Рис. 5. Коэффициенты концентраций ( $K_c$ ) кадмия в илах р. Раздан, в черте г. Еревана. Данные 2003г.

лист) с содержанием в илах. Также не обнаружено зависимости между содержаниями Ag и Pb в илах с их содержанием в воде.

Тростник интенсивно накапливает основной спектр элементов-загрязнителей (Zn, Ag, Pb, Cd) из воды, с одной стороны способствуя повышению их концентраций в илах за счёт поглощения их из водного потока и осаждения с ежегодно отмирающей биомассой, с другой стороны, — он адекватно отражает загрязнение речных вод.

## Глава IV. ЭКОЛОГО-ГЕОХИМИЧЕСКОЕ КАРТИРОВАНИЕ И СИСТЕМА ФИТОИНДИКАЦИИ ЗАГРЯЗНЕНИЯ г. ЕРЕВАНА ТМ

### IV.1. Эколого-геохимическое картирование загрязнения г. Еревана ТМ.

Для ранжирования городских территорий по степени потенциального риска для здоровья населения первостепенное значение имеют комплексные карты загрязнения, для построения которых использован метод крикинг-интерполяции. Системообразующий базис исследований — пространственно-временная привязка результатов исследований к специализированным картам (М 1 : 10000) с учетом адекватности накопления ТМ в депонирующих средах экосистемы (почвах, растениях).

#### VI.1.1. Геохимическое картирование загрязнения почвенного покрова г. Еревана ТМ.

Результаты педогеохимической съёмки территории г. Еревана (М 1:10000) показали, что почвенный покров интенсивно загрязнён рядом ТМ (Pb, Cu, Ag, Zn, Mo, Cr, Ni и др.). На территории города выделены поля 5 уровней загрязнения. \*

**Поля I уровня** — минимальное загрязнение, СПК<8. Эти поля отличаются незначительным уровнем накопления ТМ, концентрации которых близки к фону:  $\text{Cr}_{(1,4)}\text{-Ni}_{(1,1)}\text{-Co}_{(1,0)}$ - $\text{Cu}_{(1,2)}\text{-Mo}_{(0,8)}\text{-Zn}_{(0,7)}$  (ряд нормирован по фону). В ряду доминируют Cr и Ni. Эти поля развиты преимущественно на южных, юго-восточных, северных и северо-западных окраинах города. Суммарная площадь  $\approx 16 \text{ km}^2$ .

**Поля II уровня** — слабое загрязнение, СПК=8-16. Эти поля имеют значительно более широкое распространение по сравнению с полями I уровня. Аномалии слагающих их элементов слабоконтрастны, что обусловлено небольшими значениями Кс:  $\text{Cr}_{(2,4)}\text{-Ni}_{(1,7)}\text{-Pb}_{(1,6)}\text{-Ag}_{(1,5)}\text{-Zn}_{(1,4)}$ - $\text{Co}_{(1,3)}\text{-Cu}_{(1,2)}\text{-Mo}_{(1,0)}$ . В ряду также доминируют Cr и Ni. Поля приурочены, в основном, к окраинам, местами вклиниваются в центр города. Суммарная площадь  $\approx 80 \text{ km}^2$ .

**Поля III уровня** — среднее загрязнение, СПК=16-32. Поля характеризуются следующим рядом:  $\text{Pb}_{(5,6)}\text{-Zn}_{(3,8)}\text{-Cr}_{(3,7)}\text{-Ag}_{(2,6)}\text{-Cu}_{(1,9)}\text{-Ni}_{(1,8)}\text{-Co}_{(1,6)}\text{-Mo}_{(1,5)}$ . Доминирующие элементы — Pb, Zn. Поля прослеживаются от северо-восточных и восточных окраин к центральной и южной частям города. Суммарная площадь  $\approx 90 \text{ km}^2$ .

**Поля IV уровня** — сильное и очень сильное загрязнение, СПК=32-128. Поля отличаются высокой контрастностью слагающих их аномалий отдельных ТМ. Качественный ряд:  $\text{Pb}_{(19,6)}\text{-Zn}_{(9,1)}\text{-Ag}_{(8,4)}\text{-Cu}_{(4,1)}\text{-Cr}_{(3,9)}\text{-Mo}_{(2,1)}\text{-Ni}_{(2,0)}\text{-Co}_{(1,6)}$ . Доминируют Pb и Zn. Эти поля локализованы, дискретны и пространственно тяготеют к районам промышленных предприятий и высокой транспортной нагрузки. Наиболее крупные поля расположены в центре города с развитием к северу. Суммарная площадь  $\approx 28 \text{ km}^2$ .

**Поля V уровня** — максимальное загрязнение, СПК>128. Для этих полей характерна резкая пространственная локализация вплоть до точечного характера, а также высокая контраст-

ность и интенсивность слагающих их аномалий отдельных элементов. Качественный ряд: Ag<sub>(93,7)</sub>-Pb<sub>(44,0)</sub>-Zn<sub>(19,0)</sub>-Cu<sub>(15,2)</sub>-Cr<sub>(12,4)</sub>-Mo<sub>(7,8)</sub>-Ni<sub>(5,2)</sub>-Co<sub>(1,7)</sub>. Доминирующие элементы – Ag и Pb. Всего таких участков на территории города насчитывается 14; вместе они охватывают площадь >1км<sup>2</sup>. В основном они приурочены к территориям, прилегающим к промышленным предприятиям Зейтуна и Норагавита.

На территории г.Еревана сформировалась техногенная геохимическая ассоциация ТМ, по качественным и количественным показателям отличающаяся от природного геохимического фона. Обобщённый геохимический ряд качественного состава загрязнения ТМ почв территории города имеет следующий вид: Pb<sub>(6,4)</sub>-Ag<sub>(4,4)</sub>-Zn<sub>(3,7)</sub>-Cr<sub>(3,2)</sub>-Cu<sub>(2,11)</sub>-Ni<sub>(1,18)</sub>-Co, Mo<sub>(1,14)</sub>. Сопоставляя его с природным рядом – Pb<sub>(2,5)</sub>-Cu<sub>(1,3)</sub>-Zn<sub>(1,2)</sub>-Mo<sub>(1,1)</sub>>Cr<sub>(0,8)</sub>-Ag<sub>(0,7)</sub>-Ni<sub>(0,6)</sub>-Co<sub>(0,5)</sub> (нормированным по литосферным кларкам), можно заключить, что процесс загрязнения почв г.Еревана имеет двойственный характер: с одной стороны, происходит нарастание роли халькофильных элементов, имеющих завышенные (по сравнению с литосферным кларком) концентрации в условиях природного геохимического фона. С другой стороны, параллельно этому процессу отмечается интенсивный техногенный привнос как халькофильных, так и сидерофильных элементов, не свойственных для данного геохимического ландшафта.

Доминирование Pb обусловлено применением в течение многих лет этилированного бензина, выбросами типографий и ряда активно работающих в прошлом предприятий (КАНАЗ, Полиграфкомбинат, типографии); доминирование Ag – развитием сети мелких гальванических и ювелирных цехов и частных фотолабораторий при полной ликвидации госслужбы по сбору и утилизации серебросодержащих отходов. Остальные элементы входят в число характерных сопутствующих загрязнителей предприятий электротехнического, машиностроительного, химического профилей. В отношении Cu следует отметить, что помимо заводского загрязнения, имеет место загрязнение, связанное с работой городского транспорта (контактные электролинии, износ шин и др.) и сельским хозяйством (использование CuSO<sub>4</sub> и др.).

Несмотря на сокращение объёмов поступления ТМ с атмосферными осадками за последние годы, проблема загрязнения почв актуальна, поскольку львиная доля ТМ находится в органоминеральных комплексах, и при активизации процессов выщелачивания и мобилизации существует реальная угроза здоровью населения. Поэтому на загрязнённых территориях необходима разработка профилактических мероприятий для максимального нивелирования воздействия ТМ на организм человека и животных. К числу таковых относятся: 1) пылеподавление путём функционального озеленения и архитектурно-планировочных решений, 2) мелиоративные мероприятия по связыванию подвижных форм ТМ на участках культивации сельхозпродукции и введение функционального сельхозассортимента с барьерным металлоглутотельным потенциалом.

#### IV.1.2. Биогеохимическое картирование загрязнения территории г.Еревана ТМ.

VI.1.2.1. *Принципы биогеохимического картирования.* Кратко изложены основные положения биогеохимического районирования, природных и техногенных биогеохимических провинций, разработанные В.И. Вернадским, А.П. Виноградовым, В.В. Ковальским, Ю.Е. Саевом и др.

#### VI.1.2.2. *Комплексная индикационная карта-схема загрязнения территории г.Еревана ТМ.*

Нами решалась задача по разработке алгоритма комплексного биогеохимического индикационного картирования загрязнения территории г.Еревана. Суть алгоритма заключается в определении в результате статистической обработки материалов взаимосвязи между векто-

рами-индикаторами (концентрации ТМ). Для этого проведен кластерный анализ матрицы параметров – MnN, где концентрации ТМ унифицированы в кластеры. При решении первого шага задачи для каждой пары кластеров рассчитан корреляционный коэффициент подобия ( $r$ ). Коэффициент корреляции имеет геометрический смысл, поэтому для исключения отрицательных значений  $r$  при построении дендрограмм использована формула расстояния Чебышева ( $S$ ):  $S(X, Y) = \text{Maximum} |X_i - Y_j|$ . Эта величина рассмотрена как мера расстояния между векторами и как мера сходства между объектами. При решении второго шага кластеры разделены по степени сходства и построены классификационные дендрограммы. В рамках каждой группы кластеров объединены схожие по характеру накопления ТМ исследуемые образцы депонирующего субстрата и составлена комплексная индикационная карта-схема загрязнения территории (по адекватным металлоакопительным характеристикам *R. pseudoacacia*).

I группа: слабоинтенсивный биогеохимический ряд –  $\text{Cu}_{(2,8)}\text{-Ag}_{(1,1)}\text{-Pb}_{(0,6)}\text{-Zn}_{(0,5)}\text{-Ni}_{(0,3)}\text{-Co}_{(0,2)}$  (в скобках приведены средние значения Кс элементов, нормированные по фону); интенсивность ряда – 5,82. Доминирующая роль принадлежит Cu и Ag. Точки, объединенные в эту группу, имеют мозаичную пространственную картину распределения по территории без определенной закономерности. Первая группа связана со второй на уровне  $r=0,453$ .

II группа: биогеохимический ряд –  $\text{Cu}_{(5,7)}\text{-Ag}_{(1,8)}\text{-Mo}_{(1,2)}\text{-Pb}_{(0,9)}\text{-Zn}_{(0,8)}\text{-Ni}_{(0,6)}\text{-Co}_{(0,4)}$ ; интенсивность ряда – 11,49. В определенной степени вторая группа схожа с первой, но к числу ведущих элементов добавляется Mo. Пространственное расположение этих точек аналогично предыдущей группе (разрознены и локализованы в центрах техногенных нагрузок).

Остальные 3 группы кластеров отделены от предыдущих двух на уровне сходства  $r=0,336$ . Они пространственно тесно связаны, имеют определенную закономерность распределения, однако не наблюдается тесной зависимости между группами как у предыдущих двух, и по биогеохимическим рядам элементов они резко отличаются.

III группа: биогеохимический ряд –  $\text{Cu}_{(10,6)}\text{-Ag}_{(14,1)}\text{-Mo}_{(3)}\text{-Pb}_{(1,8)}\text{-Ni}_{(1,3)}\text{-Co}_{(0,9)}\text{-Zn}_{(0,8)}$ ; интенсивность ряда – 22,49. В отличии от предыдущих полей<sup>8</sup> в биогеохимическом ряду этих полей Cu проявляет сильную интенсивность накопления, а к числу среднеинтенсивных относятся Ag, Mo, Pb, Ni (табл. 5). Уровень связи с последующими группами незначительный: с четвертой – 0,179; с пятой на уровне 0,168.

Табл. 5. Степени, интенсивность накопления и вклад ТМ в фолиуме *R. pseudoacacia* по биогеохимическим полям на территории г. Еревана.

Поля	Степени накопления и суммарный вклад элементов (%)			Интенсивность
	сильное (10n)	среднее (n)	слабое (0,n)	
I	Cu, Ag – 66,5 %	Pb, Zn, Ni, Mo, Co – 33,5 %		5,82
II	Cu, Ag, Mo – 76,2 %	Pb, Zn, Ni, Co – 23,8 %		11,49
III	Cu – 47 %	Ag, Mo, Pb, Ni – 45,9 %	Co, Zn – 7,1 %	22,49
IV	Cu – 45,3 %	Ag, Mo, Pb, Ni, Zn, Co – 54,7 %		41,68
V	Ag, Mo, Cu – 92 %	Ni, Pb, Co – 7 %	Zn – 1 %	75,37

IV группа: биогеохимический ряд –  $\text{Cu}_{(18,9)}\text{-Ag}_{(8,1)}\text{-Mo}_{(5,5)}\text{-Pb}_{(3,6)}\text{-Ni}_{(2,2)}\text{-Zn}_{(1,8)}\text{-Co}_{(1,6)}$ ; интенсивность ряда – 41,68. В ряду отсутствуют элементы слабого захвата (0,n).

V группа: биогеохимический ряд –  $\text{Ag}_{(32,9)}\text{-Mo}_{(22,5)}\text{-Cu}_{(13,9)}\text{-Ni}_{(2,8)}\text{-Pb}_{(1,4)}\text{-Co}_{(1,1)} > \text{Zn}_{(0,7)}$ ; интенсивность ряда – 75,37. В ряду доминирующее место занимают Ag, Mo, Cu. Пространственно поле локализовано в центре города и приурочено к территориям сильного загрязнения.

По средним оценкам, в целом, для территории г. Еревана характерен следующий биогеохимический ряд:  $\text{Cu}_{(11,2)}\text{-Ag}_{(5,2)}\text{-Mo}_{(3,3)}\text{-Pb}_{(1,9)}\text{-Ni}_{(1,3)} > \text{Co, Zn}_{(0,9)}$ , интенсивность которого 24,7.

Вклад ТМ в интенсивность биогеохимических полей находится в широком диапазоне: Cu – 18,4-49,6 %, Ag – 16-47,7 %, Mo – 5,3-29,8 %, Pb – 1,9-9,7 %, Zn – 1,0-8,6 %, Ni – 3,7-5,9 %, Co – 1,4-4,1 %. Все ТМ имеют переходные степени накопления. Наибольшую степень ( $10^{n-p}$ ) и вклад имеют Cu (на III-V полях), Ag и Mo (на полях V уровня с максимальной интенсивностью 75,37). В целом, по городу Ag относится к среднему уровню накопления (n).

#### IV.2. Разработка системы биогеохимической фитоиндикации загрязнения городской среды ТМ.

Для оценки состояния окружающей среды урбанизированных территорий нами разработан метод комплексной биогеохимической фитоиндикации на разных системных уровнях, схема организации и основные этапы которой представлены на *рис. 6*.



*Рис. 6. Логическая схема фитоиндикационных исследований.*

Исследования базируются на двух основных принципах: 1) сопряжённый анализ накопления и перераспределения ТМ в экологических подсистемах города “геосреда – растение”, 2) выявление адекватных биогеохимических индикаторов и их использование в картировании загрязнения территорий. Система состоит из ряда последовательных этапов с использованием разных методов, уточняемых в зависимости от специфики изучаемого района и объектов. Сложнейшим элементом организации комплексных биогеохимических исследований является обоснование оптимальной численности постоянных площадок наблюдения, их размещения на плане города и методов контроля. Нами был определён перечень контрольных площадок на основе комплекса критерииев (ландшафтно-геохимические, экологические и др.) и сети точек многолетних наблюдений за уровнем загрязнения геосфер ТМ. При биогеохимической оценке загрязнения территории использованы доминантные виды. Решение задачи адекватного выбора численности площадок возможно при применении статистических методов с учётом комплекса результатов проблемно-ориентированных исследований.

На первом этапе создания системы решалась задача получения репрезентативной информации о биогеохимических параметрах растений с применением наиболее доступных методов и учётом доминирующих факторов негативного антропогенного воздействия на

растения, в первую очередь, загрязнения атмосферного воздуха, почв и вод ТМ. Весь комплекс исследований реализован с детальным изучением и описанием территорий, с применением единого комплекса методов и точной картографической основы.

Следующей задачей явилось создание компьютерной БД содержания ТМ в сопряжённых гео- и биосредах. БД необходима как для промежуточных этапов исследований, так и для заключительного информационного блока системы, включающего экстраполяцию состояния компонентов экосистем на крупные однородные географические единицы и разработку серии карт-схем. С целью оптимальной организации информации в ЦЭНИ НАН РА разработана и реализована экогеохимическая компьютерная БД ТМ в почвах и растениях.

Система биогеохимической фитоиндикации загрязнения городской среды имеет ряд преимуществ:

- возможность оценки состояния экосистемы как результат реакции на природные и антропогенные воздействия;
- возможность одновременного проведения исследований на изучаемой территории с использованием нескольких тривиальных и космополитных видов;
- универсальность и высоконформативность, поскольку позволяет одновременно обрабатывать широкий спектр проб по заданным параметрам и строить комплексные карты-схемы загрязнения территории, а также выявлять ассоциации ТМ – загрязнителей;
- даёт возможность проследить динамику и выявить закономерности пространственного распределения и депонирования ТМ в отдельных геосредах по адекватным биогеохимическим параметрам растений.

## ВЫВОДЫ

Анализ результатов исследования загрязнения различных сопряжённых сфер экосистемы на территории г. Еревана позволяет сделать ряд выводов:

1. За период 1989-1995гг. в техногенном геохимическом потоке в атмосфере установлена тенденция к снижению уровня загрязнения и изменение качественного ряда ТМ ( $\text{Ag-Pb-Cu-Ni-Mo-Zn-Co,Cr}$ ), с доминирующей ролью халькофильных элементов ( $\text{Pb, Ag}$ ).
2. Показано, что у лишайников в условиях г. Еревана по сравнению с фоном резко возрастает активность накопления ТМ. Исследования показали, что биогеохимический ряд накопления ТМ ( $\text{Mo-Ag-Pb-Cu-Cr-Ni-Zn-Co}$ ) в лиофильном лишайнике *Parmelia saxatilis* интегративно отражает динамику и тенденции геохимического потока ТМ в атмосфере.
3. Показано, что ведущую роль в формировании техногенного загрязнения играют халькофильные элементы, и, в первую очередь,  $\text{Pb}$  и  $\text{Ag}$ . Установлено, что доля подвижных форм от их валового содержания у ряда доминантных халькофильных элементов ( $\text{Pb, Zn, Cu}$ ) при повышении уровня загрязнения в гумусовом горизонте возрастает в логарифмической прогрессии, а у сидерофильного элемента –  $\text{Ni}$  – в экспоненциальной.
4. По СПК ТМ составлена комплексная карта-схема загрязнения почвенного покрова города ( $M 1 : 10000$ ), включённая в новый генплан г. Еревана (2003г.).
5. Показано, что металлоглутотильный потенциал растений зависит от уровня загрязнения питающего субстрата – почвы. Установлено, что аридантный вид *Robinia pseudoacacia* является адекватным биогеохимическим индикатором загрязнения территории г. Еревана доминирующими элементами-загрязнителями.
6. Исследования загрязнения ТМ аквасистемы "вода – донные отложения – растения" раздан (в черте г. Еревана) показали: 1) что за период 1999-2002гг. в геохимическом вод-

ном потоке отмечалась тенденция снижения уровня загрязнения по ряду элементов, за 2003г. – рост за счёт увеличения доли Cu, Zn, Pb; 2) качественную стабильность геохимического ряда ТМ в илах и его сродство с таковым для полей интенсивного загрязнения почв города; 3) что тростник интенсивно накапливает основной спектр элементов-загрязнителей (Zn, Ag, Cd) из воды.

7. На базе кластерного анализа и адекватного металлоглутотитального потенциала *Robinia pseudoacacia* разработан метод комплексного биогеохимического картирования и составлена карта-схема загрязнения территории города (M 1 : 10000).
8. Разработана система фитоиндикации загрязнения городской среды ТМ.

Используя индикационную способность растений адекватно накапливать ТМ за длительный период времени становится возможным:

- проведение экспрессной экоэкспертизы и получение комплексной экологической картины загрязнения территорий в кратчайшие сроки при сокращении затрат на инструментальные измерения состояния загрязнения отдельных геосред (атмо-, педо- и гидросфера);
- разработка комплекса работ по отбору определённых видов для оценки и прогноза процесса загрязнения техногенных и урбанизированных ландшафтов;
- определение природоохранных мероприятий с использованием функционального озеленения территории.

Сопряженный анализ поведения ТМ во взаимосвязанных сферах городской экосистемы даёт возможность ранней диагностики загрязнения как самих сфер, так и экосистемы в целом. Исследования поглотительного потенциала растений позволяют проводить подбор ассортимента толерантных видов для функционального озеленения территорий с подбором устойчивого ассортимента растений.

Разработанная система биогеохимической фитоиндикации может быть использована в качестве альтернативной технологии мониторинга загрязнения городской среды ТМ.

#### ОСНОВНЫЕ ПОЛОЖЕНИЯ ДИССЕРТАЦИИ ИЗЛОЖЕНЫ В РАБОТАХ:

- [1] Аревшатян С.Г. Лишайники как биоиндикаторы техногенного загрязнения г. Еревана. – Тез. докл. республ. науч. конф. "Загрязнение окр. среды ТМ". Ереван: Изд-во ЦЭНИ НАН РА, 1996, с. 62-63.
- [2] Сагателян А.К., Оганесян А.А., Мурадян А.А., Аревшатян С.Г. Мониторинг загрязнения г. Еревана свинцом и стронцием с помощью древесных растений. – Сб. науч. тр. ЦЭНИ НАН РА "Вопросы экологии и охраны окр. среды", т. 2, деп. в АрмНИИТИ 01.05.96, N80-Ар96. Ереван, с. 17-22.
- [3] Аревшатян С.Г. Экогеохимия растений в условиях техногенеза. – Тез. междуц. симпоз. "Геохимия ландшафтов, палеоэкология человека и этногенез". Улан-Удэ: Бурятский гос. ун-т, Геол. ин-т СО РАН, 1999, с. 280-281.
- [4] Аревшатян С.Г. Система фитоиндикации и картирования загрязнения городского ландшафта ТМ. – Тез. II междуц. совещц. "Геохимия биосфера". Новороссийск, 1999, с. 207-208.
- [5] AREVSHATYAN SH., On the problem of using the lichens in man-made environmental pollution biomonitoring. – Flora, vegetation & vegetables resources of Armenia. Yerevan: publ. by "Banar", 1999, N<sub>o</sub>12, pp. 78-79.
- [6] Аревшатян С., Согомонян А. Методология биогеохимической фитоиндикации и техногенной дендроэкологии. – Сб. статей молодых науч. сотр. Естеств. науки, вып. 1. Ереван: Изд-

- во "Гитутюн" НАН РА, 1999, с. 45-52.
- [7] АРЕВШАТИЯН С.Г. Картирование техногенного загрязнения урбанизированных территорий методом фитоиндикации. – Сб. тез. докл. IV Межд. экол. конф. студентов и молод. учёных "Роль науки и образования на пороге третьего тысячелетия". М: МГГУ, 16-18.04.2000, т. 1, с. 114-116.
- [8] AREVSHATIYAN SH, Using vegetation in indication of environmental pollution by heavy metals. – Proc. of Intern. Seminar "Conversion Potential of Armenia and ISTC Programs", part II. Yerevan: publ. by NAS RA, 2000, pp. 133-136; Abstract – p. 192.
- [9] АРЕВШАТИЯН С.Г., ОГАНЕСЯН А.А., МУРАДЯН А.А., НАВАСАРДЯН И.А., АВЕТИСЯН М.Г. Биогеохимические особенности ясеня обыкновенного в условиях загрязнения городской среды ТМ. – Уч. записки ЕГУ, №<sub>1</sub> (192). Ереван: Изд-во ЕГУ, 2000, с. 114-119.
- [10] АРЕВШАТИЯН С.Г. Краткий исторический очерк изучения лихенофлоры Армении. – Мат. II республ. молодёж. науч. конф. "XXI век: экологическая наука в Армении". Ереван: Изд-во "Гитутюн" НАН РА, 2001, с. 185-189.
- [11] AREVSHATIYAN S, Biogeochemistry of lichen in conditions of urban pollution. – Coll. of articles of the young researchers. Yerevan: publ. by "Gitutjun" NAS RA, 2001, N<sub>1</sub>(2), pp. 25-28.
- [12] SAGHATELYAN A.K., AREVSHATIYAN SH, Using the plants in studying technogenic biogegeochemical provinces. – Abstr. of XI Intern. Sympos. of bioindicators "Problems of bioindication and biomonitoring". Syktyvkar, 2001, p. 349.
- [13] АРЕВШАТИЯН С.Г. Использование биогеохимических параметров деревьев в оценке загрязнения городских территорий. – Тез. межд. школы "Современные методы эколого-геохимической оценки состояния и изменений окр. среды". Новороссийск, 2003, с. 48.
- [14] АРЕВШАТИЯН С.Г. О системе фитоиндикации техногенных территорий. – Сб. докл. VII Межд. экол. конф. студентов и молод. учёных "Экологическая безопасность как ключевой фактор устойчивого развития". М: МГГУ, 9-10.04.2003, т. 1. – Смоленск, Ойкумена, 2003, с. 61-63.
- [15] АРЕВШАТИЯН С.Г., Саакян Л.В. Особенности загрязнения почвенного покрова г. Еревана ТМ. – Тез. межд. школы "Современные методы эколого-геохимической оценки состояния и изменений окружающей среды". Новороссийск, 15-20.09.2003, с. 96-97.
- [16] SAGHATELYAN A.K., AREVSHATIYAN SH, SAHKAYAN LV, Ecological-geochemical assessment of heavy metal pollution of the territory of Yerevan. – Electronic J. of Natural Sci., ISSN 1728-791X; N<sub>1</sub>, 2003: 36-41. AN12479492; <http://search.epnet.com/direct.asp?an=12479492&db=apn>
- [17] SAGHATELYAN A.K., AREVSHATIYAN SH, NALBANDYAN M.A., Heavy metals in system "water–silt–plant" (within the limits of Yerevan). – Electronic J. of Natural Sci., ISSN1728-791X; N<sub>1</sub>(2), 2004: 20-26. AN14243818; <http://search.epnet.com/direct.asp?an=14243818&db=apn>
- [18] Արևշատյան Ս, Քաղաքների աղուտման ֆիլտրի կացիկայի համագործ: – «Գիտություն և տեխնիկա» ամսագիր, N5(489)-ԱԱՀԱ, 2004, էջ 20-23:

ԱՄՓՈՓԱԳԻՐ

new breakers

Երևան քաղաքի կողմանակարգ են ուժին բափանցում ծանր մետաղների տեխնածին հոսքեր, որոնց հետևանքով տարածքը՝ որպէս տէխնածին քաղաքակենտրոնացված մարզ, հաճենատէլի է բնական կենսաերկրաքիմիական ծայրահեղ իրավիճակների հետ։ Այս պարագայում իշխան անդամնեցու է դառնուու Երևան ք. Կողմանակարգի առանձին բաղադրամասերի ծանր մետաղներով աղտոտման գնահատումը։ Նայաստանուն շրջակա միջավայրի ծանր մետաղներով աղտոտման գնահատման համար կիրառվել են երկրաքիմիական մեթոդները, մինչդեռ կենսաերկրաքիմիական քարտեզագրման և ֆիլտրի միջիացման մեթոդները, որոնք հանդիսանուն են առավել արդյունավետ ինտեգրացնող եղանակ, չեն կիրառվել, ինչով և պայմանավորված է հետազոտությունների արդիականությունը։

Աշխատանքի նպատակը երևան թ. Էլոհանակարգի ծանր ճետադներով աղոտուման կենսաերկարիմիական գնահատումն է և ֆիտոփնդիկացիայի համակարգի մշակումը: Այդ նպատակով կատարվել են:

ա) քաղաքի կերպարանական հիմնական բաղադրամասերի (բոլոր հոգային ծածկույթ, ջուր, հատակային նստվածքներ, մթնոլորտային տեղումներ) ծանր մետաղներով աղ-լուսական հեղապառություններ

բ) բոլոր մետաղականից ներուժի հետազոտություններ՝ միջավայրի ծանր մետաղներով աղտոտման ֆիտոհիգիայի կենսաերկրաքիմիական հաճարժեք չափանիշները որոշվու հանար.

q) համարի էկոլոգակրաքիմիական քարտեզագրում և քաղաքի տարածքի ծանր նետազներով աղտոտման կենսաերկրաքիմիական ֆիտոփնդիկացիայի համակարգի մշակում:

### Առաջին անգամ.

- Հայաստանում, մասնավորապես Երևանում, բժնջորտի ծանր մետաղներով աղտոտման գնահատման համար փորձարկվել է լիխտնիդիկացիայի մեթոդը,
  - տրվել է Երևան քաղաքի էկոհանակարգի տարրեր երկրողությունների ծանր մետաղներով աղտոտման կենսաերկրաքիմիական համալիր գնահատականը,
  - համալիր ուսումնասիրվել է բույսերի (քարաքոսեր, ծառատեսակներ, եղեգն) մետաղականիչ ներուժը և որոշվել են նրանց կենսաերկրաքիմիական ինդիկացիոն ցուցանիշները՝ քաղաքի երկրողությունների ծանր մետաղներով աղտոտման պայմաններում,
  - կատարելագործվել է ինդիկացիոն քարտեզագրման համակարգը հողային ծածկույթի և կենսաերկրաքիմիական ֆիտոդիկացիայի տվյալներով, նշակվել են Երևան քաղաքի տարածքի ծանր մետաղներով աղտոտման համալիր քարտեզ-սխեմաներ ( $1 : 10000$ ):

Սահմանվել է, որ կենսաերկրաքիմիական լիխենոնիդիկացիայի մերուով Երևանը ք. օդային ավազանի աղտոտման գնահատման համար նպատակահարմար է օգտագործել լիքոֆիլ քարաքոս՝ *Ramaria saxatilis*-ը: Ցույց է տրվել, որ Երևան քաղաքի տարածքի հողային ծածկույթի աղտոտման մեջ գերակշռութ են խալկիդիլ տարրերը (Pb, Ag, Zn, Cu), իսկ միդերոֆիլ տարրերի (Mo, Ni, Cr, Co) դերն ուժգին կերպով արտահայտվում է միայն աղտոտման լոկալ կարգաշեղումներում: Հայտնաբերվել է, որ առավել աղտոտման պայմաններում տարրերի շարժուն ձևերի քամին ավելանում է նրանց անշարժ ձևերի աճին գուգընթաց: Հաստատվել է, որ քաղաքի աղտոտման պայմաններում համարժեց մետաղականից մերուով:

Հյազդան գետի «ջուր-հատակային նստվածք-բույս» համակարգի ծանր մետաղներով աղտոտման մոնիթորինգը ցույց է տվել»:

- ա) 1999-2002թթ. ջրային հոսքի աղտոտման նվազում՝ Երկրաքիմիական հոսքի ուժգնությունն իջել է 1033-ից մինչև 41, իսկ 2003թ.՝ բարձրացում (հոսքի ուժգնությունը կազմել է 206,8)՝ Cu, Zn, Pb տարրերի խոռությունների ավելացման հաշվին,
- բ) 2000-2003թթ. հատակային նստվածքների Երկրաքիմիական շարքում դիտվել է քանակական աճ՝ ի հաշիվ Ag-ի: Ծարքը (Ag-Pb-Zn-Cu) համաննան է քաղաքի հողերի առավել աղտոտված դաշտերին: 2003թ. տիղմերում հայտնաբերվել են Cd-ի մեջ քանակություններ (խոռության գործակիցը կազմել է 33,3),
- գ) կործացիոն վերլուծությունը ցույց է տվել, որ եղեգը կարող է հանդիսանալ ջրոլորտի Ag, Zn, Pb, Cd աղտոտման ինդիկատոր:

Նեղինակի կողմից արաջարկված համալիր ֆիտոինդիկացիոն քարտեզագրության մերոդի մասին հրապարակված է «Hi-Tech» տեղեկագրում:Ա.Կ.Սաղաթելյանի և Լ.Վ.Սահակյանի հետ համահեղինակությամբ մշակվել է ծանր մետաղներով Երևան ք. Խողային ծածկությի աղտոտման համալիր քարտեզ-սխեմա (Մ1:10000), որն ներդրվել է Երևանի ք. Առողջապահության նախարարության կողմանից (2003թ.):

Քիմիավորված դրույթները և եղանակացությունները կարող են օգտագործվել.

- ա) ծանր մետաղներով տարածքների աղտոտման էկոլոգիական փորձաքննության անցկացման համար,
- բ) տեխնածին քաղաքակենտրոնացված լանդշաֆտներում էկոլոգիական մոնիթորինգի համակարգի մշակման և բնապահպանական միջոցառումներ անցկացնելու համար,
- գ) տեխնածին տարածքների ֆիտոմելիորացիայի բնագավառում՝ բարձր մետաղականիչ ներուժ ունեցող ծառատեսակների օգտագործմամբ:



1952

Формат 60x90<sup>1</sup>/<sub>16</sub>. Объём 1 п.л. Тираж 100.